

文章编号: 1004-0609(2006)04-0575-05

Al-Mg 合金镀层的制备与性能^①

王吉会, 张爱平, 刘翔, 田维静

(天津大学 材料科学与工程学院, 天津 300072)

摘要: 利用 $\text{AlCl}_3 + \text{LiAlH}_4 + \text{MgBr}_2$ 有机溶剂体系在碳钢基体上电沉积出 Al-Mg 合金镀层, 并对不同沉积电流密度下 Al-Mg 镀层的表面形貌、成分、结构、厚度、结合力和耐蚀性进行了研究。结果表明: 沉积出的铝镁合金镀层表面光滑、均匀、致密; 膜层中的镁含量随沉积电流密度的增加而增大, 且以 Al-Mg 固溶体形式存在, 并按(200)面的结构生长; 随沉积电流密度的增加, 铝镁合金镀层的厚度与晶格常数呈线性增大; 在 3.5% NaCl 溶液中的耐蚀性呈先增大后减小的规律; Al-Mg 镀层与碳钢基体的结合力良好, 均大于 50 N; Al-Mg 镀层的沉积速率、结合力和耐蚀性均高于相同沉积条件下的纯铝镀层; Al-Mg 合金镀层沉积的最佳电流密度为 0.75~1.50 A/dm²。

关键词: Al-Mg 合金; 电镀; 有机溶剂体系; 组织结构; 耐蚀性

中图分类号: TQ 153.19

文献标识码: A

Preparation and properties of Al-Mg electrodeposited coating

WANG Jihui, ZHANG Aiping, LIU Xiang, TIAN Weijing

(School of Materials Science and Engineering,
Tianjin University, Tianjin 300072, China)

Abstract: Aluminum-magnesium alloy coatings were electroplated onto carbon steel by using $\text{AlCl}_3 + \text{LiAlH}_4 + \text{MgBr}_2$ organic solvent electrolyte, and the surface morphology, composition, structure, thickness, adhesion and corrosion resistance of aluminum-magnesium alloy coatings were observed and determined. The results show that the deposited aluminum-magnesium alloy coating is smooth, uniform and compact. The component of magnesium exists in the coating with Al-Mg solid solution and forms in the structure of (200) orientation. With increasing current density, the magnesium content, lattice parameter and thickness of coatings rise linearly. Al-Mg alloy coatings have a good adherent to the substrate (larger than 50 N), and have a high corrosion resistance in 3.5% NaCl solution. The deposition rate, adhesion force and corrosion resistance of aluminum-magnesium alloy coating are greater than that of pure aluminum coating under the same electrodeposited condition. The optimum current density for Al-Mg alloy coatings in organic solvent electrolyte is ranged from 0.75 to 1.50 A/dm².

Key words: Al-Mg alloy; electroplating; organic solvent electrolyte; microstructure; corrosion resistance

铝和铝合金具有优异的耐蚀性、装饰性、抗氧化性和可加工性能, 是一种理想的钢铁构件防护层^[1]。然而由于 Al 的标准电极电位为 -1.66 V, 比氢的电位还负, 使得铝的电镀只能在一个绝对不含水的、非水电解质体系中进行^[1, 2]。

在电镀铝及铝合金的有机溶剂、无机熔盐和有

机熔盐等 3 种体系中^[1-3], 有机溶剂体系是使用最早、应用最广泛的电镀铝体系; 如 Couch 等^[4]、Ishibashi 等^[5]、Lefebvre 等^[6]分别采用 $\text{AlCl}_3 + \text{LiAlH}_4 +$ 二乙基醚、 $\text{AlCl}_3 + \text{LiAlH}_4 +$ 四氢呋喃、 $\text{AlBr}_3 + \text{MBr} +$ 苯(甲苯)等不同的有机溶剂体系, 获得了高纯度的铝镀层。但由于纯铝镀层晶粒粗大,

① 基金项目: 国家自然科学基金与中国工程物理研究院 NSAF 联合基金资助项目(10376023)

收稿日期: 2005-10-19; 修订日期: 2005-12-20

通讯作者: 王吉会, 副教授; 电话: 022-27890010; 传真: 022-27407338; E-mail: jhwang@tju.edu.cn

且膜层不可避免地存在一定的孔隙，致使其耐蚀性大为降低。

为改善纯铝镀层的耐蚀性，常需要在电镀纯铝涂层的基础上进行铝合金的电镀^[7, 8]。因为合金元素如Mo、Ti、Cr、Ni等的加入，能细化Al镀层的晶粒、提高氧化膜的致密性和厚度，进而增强镀层的耐蚀性^[9~13]。Eckert^[14]在AlCl₃+LiAlH₄有机溶剂体系的基础上通过加入MgBr₂组分制备出Al-Mg合金镀层，但并没有对Al-Mg合金镀层的组织、性能及电镀工艺的影响进行研究。此外，到目前为止国内外尚未见到进行Al-Mg合金电沉积的报道，使得Al-Mg耐蚀合金镀层的开发和应用受到严重的制约。

本文作者在AlCl₃+LiAlH₄的四氢呋喃-苯有机溶剂体系电镀纯铝膜层的基础上，利用AlCl₃+LiAlH₄+MgBr₂的四氢呋喃-苯有机溶剂体系在低碳钢基体上进行了Al-Mg合金的电镀实验，并就不同电镀工艺参数对合金镀层的表面形貌、成分、结构、厚度、结合力以及耐蚀性能的影响等进行了系统的分析，以期获得最佳的施镀工艺和镀层性能。

1 实验

1.1 镀层制备

选用分析纯的四氢铝锂、无水氯化铝、六水溴化镁、苯和四氢呋喃试剂，在25℃、氩气保护的气氛下配制成AlCl₃+LiAlH₄+MgBr₂的四氢呋喃-苯的有机电解液，电解液中Al与Mg含量的摩尔比为10:1，电解液的制备方法详见文献[15]。

采用Q235低碳钢作为基体试样(阴极)，试样的尺寸为30 mm×20 mm×3 mm。电镀前，基体试样经砂纸依次打磨抛光、碱洗、酸洗、水洗、干燥、丙酮溶液浸泡60~90 s、加入水杨酸的四氢呋喃溶液浸泡30~120 s等处理。阳极材料选用纯度为99.99%的高纯铝片，并经砂纸打磨抛光、碱洗、水洗、丙酮洗、干燥等预处理过程。

利用三颈平底玻璃烧瓶(约500 mL)作为电镀槽，在室温、通氩气的情况下，以带电入槽的方式将基体试样放入镀液中，在选定的电流密度和电镀时间下进行电镀。电镀结束后，在氩气保护下取出试样，经丙酮洗、干燥后进行镀层组织和性能的测试。在电镀过程中，选择的沉积电流密度分别为0.25、0.50、0.75、1.00、1.25、1.50、2.00和2.50 A/dm²；电镀时间为30 min。

为便于对比，利用不添加MgBr₂的AlCl₃+

LiAlH₄的四氢呋喃-苯有机电解液，在电流密度2.00 A/dm²、电镀时间30 min下沉积出纯铝镀层，纯铝镀层的制备步骤与铝镁合金镀层相同。

1.2 测试方法

利用PHILIPS XL30 ESEM扫描电子显微镜观察铝镁合金镀层的表面形貌，并利用EDS能谱分析仪测定铝镁镀层的化学成分；采用QuaNix 7500涂层测量仪测定铝镁镀层的平均厚度。

利用BDX3300 X射线衍射仪分析纯铝和铝镁合金镀层的物相组成，使用的靶材为Cu，波长为0.154 nm。铝镁镀层与低碳钢基体的结合力，由MFT-3000表面性能测试仪进行测量，并以镀层和基体发生剥离时的临界载荷表示。

利用PARSTAT 2263电化学测量系统，评价纯铝和铝镁合金镀层在3.5%NaCl溶液中的耐蚀性能。测试采用三电极体系，工作电极为纯铝和铝镁镀层试样，辅助电极为铂片，参比电极为饱和甘汞电极。介质为3.5%NaCl溶液，实验温度为25℃。扫描频率的范围为 $1 \times 10^{-2} \sim 1 \times 10^5$ Hz，每倍频8个点，激励信号为幅值10 mA的正弦交流电流。实验结束后，利用配套软件求解出纯铝和铝镁镀层在3.5%NaCl溶液中的极化电阻R_p。

2 结果与讨论

2.1 镀层形貌

图1所示为不同电流密度下铝镁合金镀层的表面形貌。从宏观看，随电流密度的提高，铝镁合金镀层由暗黄色转为银白色，表面光滑平坦、均匀致密。但从微观看，铝镁合金镀层由均匀细小的球状颗粒组成；且随电流密度的增加，沉积颗粒的尺寸明显增大，镀层的粗糙度也随之增高。

2.2 镀层成分和结构

EDS能谱分析实验结果表明，电流密度为0.25 A/dm²时，铝镁合金镀层中的镁含量(摩尔分数)很小，仅为0.22%；随电流密度提高到2.50 A/dm²，镀层中的镁含量提高到2.09%。

纯铝和Al-Mg合金镀层的X射线衍射谱如图2所示。在衍射谱中，不管是纯铝镀层还是铝镁合金镀层，仅有Al峰和Fe峰存在，而Fe峰来源于镀层下的基体。衍射谱的最强峰为出现在衍射角2θ为44.7°附近的Al峰，对应于面心立方结构Al的(200)面；与此同时，还发现Al的衍射峰随沉积电

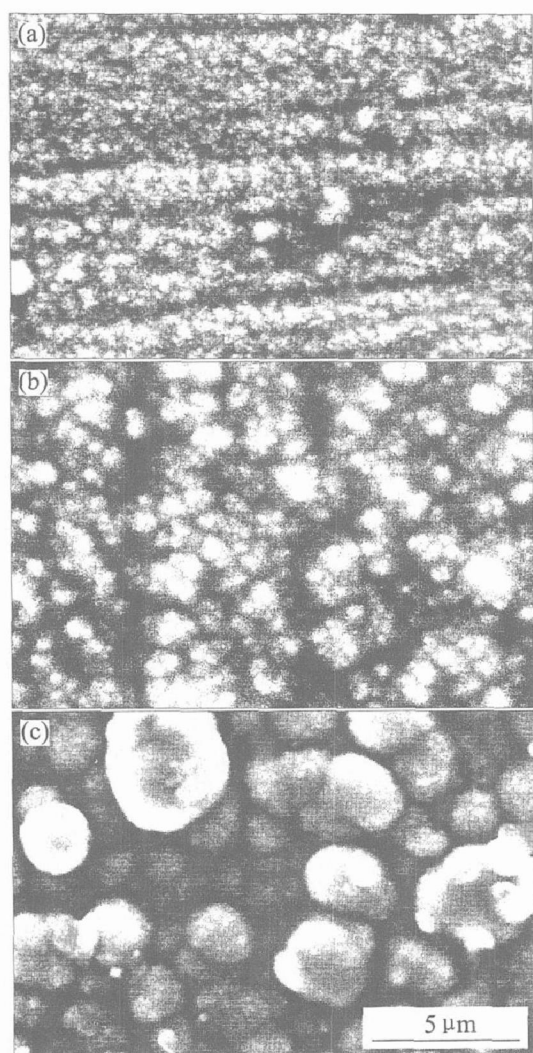


图 1 不同沉积电流密度下
铝镁合金镀层的表面形貌

Fig. 1 Surface morphologies of Al-Mg alloy coatings under different current densities
(a) $-0.25 \text{ A}/\text{dm}^2$; (b) $-0.75 \text{ A}/\text{dm}^2$; (c) $-2.50 \text{ A}/\text{dm}^2$

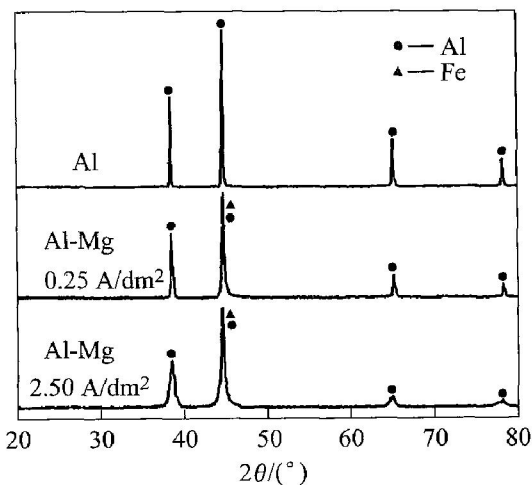


图 2 纯铝和铝镁合金镀层的 X 射线衍射谱
Fig. 2 XRD patterns of pure aluminium and Al-Mg alloy coatings

流密度的增大而向低衍射角度的方向偏移(见表 1)。

表 1 纯铝和铝镁合金镀层的晶格常数

Table 1 Lattice parameter of pure aluminium and Al-Mg alloy coatings

Sample	(hkl)	$2\theta/(\text{°})$	d/nm	a/nm	$(\Delta a/a)/\%$
Al	(200)	44.738 0	0.202 4	0.404 8	
Al-Mg ($0.25 \text{ A}/\text{dm}^2$)	(200)	44.724 2	0.202 5	0.404 9	0.03
Al-Mg ($2.50 \text{ A}/\text{dm}^2$)	(200)	44.600 0	0.203 0	0.406 0	0.30

经计算, 纯铝和铝镁合金镀层的晶格常数列于表 1。由表可以看出, 随沉积电流密度的增大, 铝镁合金镀层的晶格常数 a 增大; 晶格常数的相对增加量 $\Delta a/a$ 由 0.03% 增大到 0.30%。

结合铝镁合金镀层的成分, 并考虑到 Al-Mg 合金中 Mg 含量每增加 1%, 铝的晶格常数增加 0.0005 nm ^[6], 则铝镁合金镀层的晶格常数应为

对 $0.25 \text{ A}/\text{dm}^2$ 的 Al-Mg 镀层:

$$a_1 = a_0 + 0.22 \times 0.0005 = 0.4048 + 0.22 \times 0.0005 = 0.4049 \text{ nm};$$

对 $2.50 \text{ A}/\text{dm}^2$ 的 Al-Mg 镀层:

$$a_2 = a_0 + 2.09 \times 0.0005 = 0.4048 + 2.09 \times 0.0005 = 0.4058 \text{ nm}.$$

此理论计算结果与表 1 中晶格常数的实验结果非常吻合, 说明合金镀层中的镁是以 Al-Mg 固溶体的形式存在的, 且 Al-Mg 合金镀层是以(200)面的结构进行生长的。

2.3 镀层厚度

相同电镀时间(30 min)、不同沉积电流密度下 Al-Mg 合金镀层的厚度如图 3 所示。Al-Mg 合金镀层的厚度, 随沉积电流密度的增大近乎呈线性增加。电镀时间 30 min、电流密度为 $2.00 \text{ A}/\text{dm}^2$ 时, 铝镁镀层的厚度为 $25.8 \mu\text{m}$, 而相同沉积条件下, 纯铝镀层的厚度仅为 $12 \mu\text{m}$, 即铝镁镀层的沉积速率约为纯铝镀层的 2 倍。

2.4 镀层结合力

不同沉积电流密度下, Al-Mg 合金镀层与钢基体的结合力如图 4 所示。Al-Mg 镀层与钢基体的结合力, 随电流密度的增大呈先减小后增大的趋势。但从整体看, 在实验的电流密度范围内, Al-Mg 镀层与基体的结合力均大于 50 N, 高于纯铝镀层的结

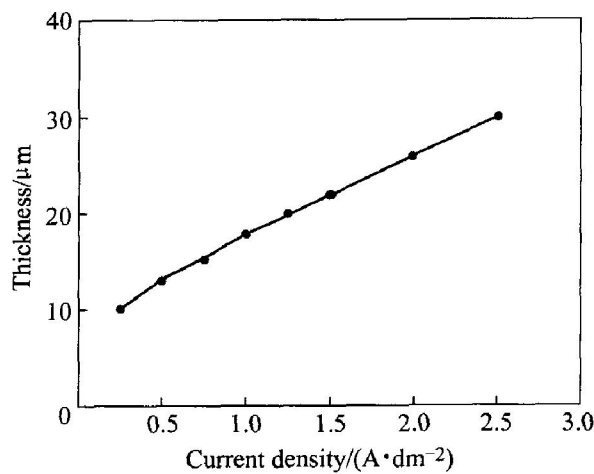


图3 不同电流密度下Al-Mg镀层的厚度

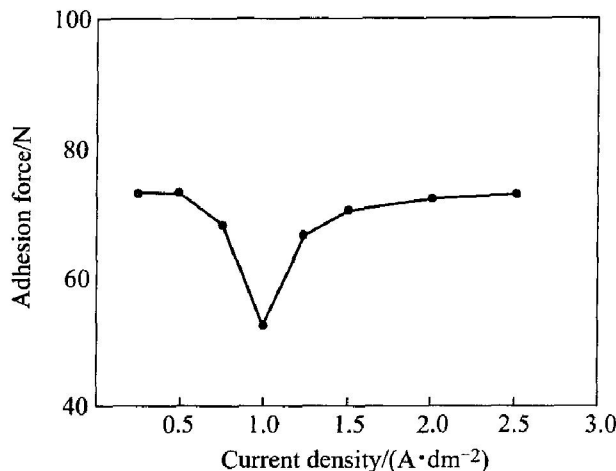
Fig. 3 Thickness of Al-Mg alloy coatings under different current densities

图4 不同电流密度下Al-Mg镀层的结合力

Fig. 4 Adhesion force of Al-Mg alloy coatings under different current densities

合力(40 N), 即铝镁镀层与基体间具有良好的结合力。

2.5 镀层耐蚀性

图5所示为纯铝镀层和不同沉积电流密度下铝镁合金镀层在3.5% NaCl溶液中的电化学阻抗谱。由图可知, 纯铝镀层的极化阻力仅为 $1.9 \times 10^4 \Omega \cdot cm^2$; 而Al-Mg合金镀层的极化阻力均大于 $1.8 \times 10^5 \Omega \cdot cm^2$, 且随电流密度的提高呈现先增大后减小的趋势。当电流密度为 $1.50 A/dm^2$ 时, Al-Mg镀层的极化阻力高达 $2.3 \times 10^5 \Omega \cdot cm^2$ 。即在 $0.25 \sim 2.50 A/dm^2$ 的电流密度实验范围内, Al-Mg合金镀层的耐腐蚀性能远远高于纯铝镀层, 约高一个数量级。

究其原因, 在纯铝中加入镁合金元素后, 可以

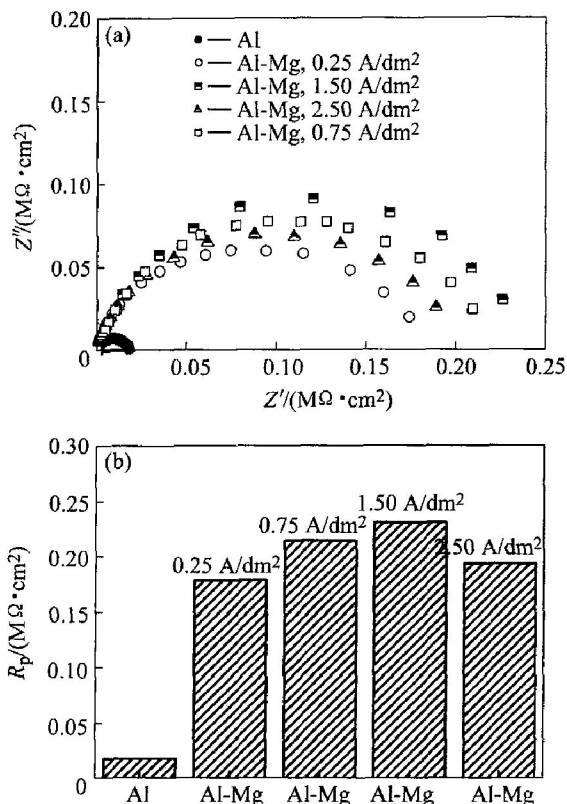


图5 纯铝和Al-Mg合金镀层在3.5% NaCl溶液中的电化学阻抗谱

Fig. 5 Electrochemical impedance spectrum of pure aluminium and Al-Mg alloy coatings
(a) —Nyquist diagram; (b) —Polarization resistance

增强铝的自钝化能力, 改善钝化膜的结构, 从而提高了铝镀层的耐蚀性^[16]。

综合图1~5中Al-Mg合金镀层的表面形貌、成分、结构、厚度、结合力和耐蚀性的实验结果, 可以得出Al-Mg合金镀层在 $AlCl_3 + LiAlH_4 + MgBr_2$ 有机体系中进行电沉积的最佳电流密度应为 $0.75 \sim 1.50 A/dm^2$ 。在此最佳工艺下, Al-Mg合金镀层表面光滑、均匀、致密, 镀层厚度为 $15 \sim 20 \mu m$, 与钢基体的结合力优良, 且在3.5% NaCl溶液中的耐腐蚀性能明显优于纯铝镀层。

3 结论

1) 利用 $AlCl_3 + LiAlH_4 + MgBr_2$ 有机溶剂体系电沉积制备出铝镁合金镀层, 镀层表面光滑、均匀、致密。铝镁镀层中的镁含量随沉积电流密度的增加而增大, 且以Al-Mg固溶体形式存在, 并按(200)面的结构进行生长。

2) 随沉积电流密度的增加, 铝镁合金镀层的厚度、晶格常数线性增大; Al-Mg镀层与碳钢基体的

结合力良好, 均在 50 N 以上, 远大于纯铝镀层与钢基体的结合力。

3) 在 3.5% NaCl 溶液中, Al-Mg 合金镀层的耐蚀性能随沉积电流密度的变化呈先增大后减小的规律, 但均远高于纯铝镀层。

4) 在 $\text{AlCl}_3 + \text{LiAlH}_4 + \text{MgBr}_2$ 有机溶剂电镀体系中, Al-Mg 合金镀层沉积的最佳电流密度为 0.75~1.50 A/dm²; 在相同条件下, 铝镁合金镀层的沉积速率约为 $\text{AlCl}_3 + \text{LiAlH}_4$ 有机溶剂体系中纯铝镀层的 2 倍。

REFERENCES

- [1] LI Qing-feng, QIU Zhu-xian. Applied Electrochemistry of Aluminum Production and Applications [M]. Shenyang: Northeast University Press, 2003. 3~6.
- [2] 黄子勋. 实用电镀技术[M]. 北京: 化学工业出版社, 2002. 133~136.
- [3] HUANG Zixun. Practical Electroplating Techniques [M]. Beijing: Chemical Industry Press, 2002. 133~136.
- [4] Wolfgang F A, Donaldson S. Electroplating with aluminum[J]. Advanced Materials & Processes, 1996, 149(2): 33~35.
- [5] Coued D E, Brenner A. A hydride bath for the electrodeposition of aluminum[J]. J Electrochem Soc, 1952, 99(6): 234~244.
- [6] Ishibashi N, Yoshio M. Electrodeposition of aluminum from the NBS type bath using tetrahydrofuran-benzene mixed solvent[J]. Electrochim Acta, 1972, 17: 1343~1352.
- [7] Lefebvre M C, Conway B E. Elementary steps and mechanism of electrodeposition of Al from complex hydride ions in tetrahydrofuran baths[J]. J Electroanalytical Chemistry, 2000, 480: 34~45.
- [8] Mondolfo L F. 铝合金的组织与性能[M]. 王祝堂, 张振录, 郑璇, 译. 北京: 冶金工业出版社, 1988. 271.
- [9] Mondolfo L F. Aluminum Alloys: Microstructure and Property [M]. WANG Zhutang, ZHANG Zhenlu, ZHENG Xuan, transl. Beijing: Metallurgical Industry Press, 1988. 271.
- [10] 夏扬, 王吉会, 王茂范. 铝合金电镀的研究进展 [J]. 材料导报, 2005, 19(12): 60~63.
- [11] XIA Yang, WANG Jihui, WANG Maofan. Advances in electroplating of aluminum based alloy [J]. Materials Review, 2005, 19(12): 60~63.
- [12] Tsuda T, Hussey C L, Stafford G R. Electrodeposition of Al-Mo alloys from the Lewis acidic aluminum chloride-1-ethyl-3-methylimidazolium chloride molten salt[J]. J Electrochem Soc, 2004, 151(6): C379~C384.
- [13] Tsuda T, Hussey C L, Stafford G R, et al. Electrochemistry of titanium and the electrodeposition of Al-Ti alloys in the Lewis acidic aluminum chloride-1-ethyl-3-methylimidazolium chloride melt[J]. J Electrochem Soc, 2003, 150(4): C234~C243.
- [14] Ali M R, Nishikata A, Tsuru T. Electrodeposition of aluminum-chromium alloys from AlCl_3 -BPC melt and its corrosion and high temperature oxidation behaviors[J]. Electrochimica Acta, 1997, 42(15): 2347~2354.
- [15] Pitner W R, Hussey C L. Electrodeposition of nickel-aluminum alloys from the aluminum chloride-1-methyl-3-ethylimidazolium[J]. J Electrochem Soc, 1996, 143(1): 130~138.
- [16] 孙淑萍, 李娟, 王英, 等. Al-Mn-Ce(Ti) 合金镀层的研究[J]. 东北大学学报(自然科学版), 1999, 20(4): 395~397.
- [17] SUN Shuping, LI Juan, WANG Ying, et al. Effect of Ce and Ti on Al-Mn alloy electrodeposition coating on steel[J]. Journal of Northeastern University (Natural Science), 1999, 20(4): 395~397.
- [18] Eckert J. Elektrochemische abscheidung von aluminium und magnesium aus aprotischen organischen elektrolytiösungen [J]. Dechema Monographien, 1992, 125: 425~435.
- [19] 张守民, 周永治. 钕铁硼磁体的 $\text{AlCl}_3 + \text{LiAlH}_4$ 有机溶液电镀铝研究[J]. 南开大学学报(自然科学版), 1999, 32(2): 14~17.
- [20] ZHANG Shoumin, ZHOU Yongqia. Electroplating of aluminum onto NdFeB magnet from $\text{AlCl}_3 + \text{LiAlH}_4$ organic solution[J]. Acta Scientiarum Naturalium Universitatis Nankaiensis, 1999, 32(2): 14~17.
- [21] 宋诗哲, 唐子龙. Al-Mg 合金在不同 pH 值的 NaCl 溶液中的腐蚀行为[J]. 腐蚀科学与防护技术, 1995, 7(3): 218~224.
- [22] SONG Shizhe, TANG Zilong. Corrosion behaviour of Al-Mg alloys in NaCl solutions with variation of pH[J]. Corrosion Science and Protection Technology, 1995, 7(3): 218~224.

(编辑 陈爱华)